

**Bachelorarbeit**

---

**mein thema**

---

vorgelegt von

**Maximilian Huber**

am

**Institut für Mathematik**

der

**Universität Augsburg**

betreut durch

**Prof. Dr. Marco Hien**

abgegeben am

**noch nicht**

# Inhaltsverzeichnis

<b>Einleitung</b>	<b>iii</b>
<b>1 Mathematische Grundlagen</b>	<b>1</b>
<b>2 Der Ring <math>\mathcal{D}</math></b>	<b>2</b>
2.1 Weyl-Algebra und der Ring $\mathcal{D}$ . . . . .	2
2.2 (Links) $\mathcal{D}$ -Moduln . . . . .	4
<b>3 Der Meromorphe Zusammenhang</b>	<b>5</b>
3.1 Meromorpher Zusammenhang (Definition) . . . . .	5
3.2 Eigenschaften . . . . .	5
3.3 formale Meromorphe Zusammenhänge . . . . .	7
3.4 Newton Polygon . . . . .	7
3.5 pull-back und push-forward . . . . .	9
3.6 Elementare Meromorphe Zusammenhänge . . . . .	11
<b>4 Levelt-Turrittin-Theorem</b>	<b>13</b>
4.1 Klassische Definition . . . . .	13
4.2 Sabbah's Refined version . . . . .	13
<b>Anhang</b>	<b>17</b>
<b>A Aufteilung von ...</b>	<b>18</b>
<b>B Wie ich Newton Polygone zeichne</b>	<b>19</b>

# Einleitung



# 1 Mathematische Grundlagen

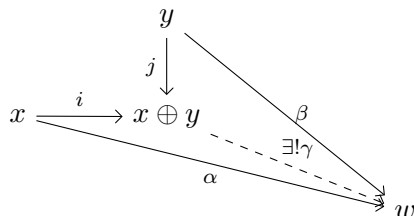
Hier werde ich mich auf [Sab90] und [Cou95] beziehen.

In dieser Arbeit spielen die folgenden Ringe eine Große Rolle:

- $\mathbb{C}[x] := \{\sum_{i=1}^N a_i x^i \mid N \in \mathbb{N}\}$
- $\mathbb{C}\{x\} := \{\sum_{i=1}^{\infty} a_i x^i \mid \text{pos. Konvergenzradius}\}$
- $\mathbb{C}[[x]] := \{\sum_{i=1}^{\infty} a_i x^i\}$
- $K := \mathbb{C}(\{x\}) := \mathbb{C}\{x\}[x^{-1}]$
- $\hat{K} := \mathbb{C}((x)) := \mathbb{C}[[x]][x^{-1}]$

Wobei offensichtlich gilt  $\mathbb{C}[x] \subset \mathbb{C}\{x\} \subset \mathbb{C}[[x]]$ .

**Definition 1.1** (Direkte Summe). [Sta12, 4(Categories).5.1] Seien  $x, y \in \text{Ob}(\mathcal{C})$ , eine *Direkte Summe* oder das *coprodukt* von  $x$  und  $y$  ist ein Objekt  $x \oplus y \in \text{Ob}(\mathcal{C})$  zusammen mit Morphismen  $i \in \text{Mor}_{\mathcal{C}}(x, x \oplus y)$  und  $j \in \text{Mor}_{\mathcal{C}}(y, x \oplus y)$  so dass die folgende universelle Eigenschaft gilt: für jedes  $w \in \text{Ob}(\mathcal{C})$  mit Morphismen  $\alpha \in \text{Mor}_{\mathcal{C}}(x, w)$  und  $\beta \in \text{Mor}_{\mathcal{C}}(y, w)$  existiert ein eindeutiges  $\gamma \in \text{Mor}_{\mathcal{C}}(x \oplus y, w)$  so dass das Diagramm



kommutiert.

**Definition 1.2** (Tensorprodukt). [Sta12, 3(Algebra).11.21]

$$\begin{array}{ccc}
 M \times N & \longrightarrow & M \otimes_R N \\
 & \searrow f & \downarrow \exists! \gamma \\
 & & T
 \end{array}$$

## 2 Der Ring $\mathcal{D}$

### 2.1 Weyl-Algebra und der Ring $\mathcal{D}$

Ich werde hier die Weyl Algebra, wie in [Sab90, Chapter 1], in einer Veränderlichen einführen. Sei  $\frac{\partial}{\partial x} = \partial_x$  der Ableitungsoperator nach  $x$  und sei  $f \in \mathbb{C}[x]$  (bzw.  $\mathbb{C}\{x\}$  bzw.  $\mathbb{C}[[x]]$ ). Man hat die folgende Kommutations-Relation zwischen dem *Ableitungsoperator* und dem *Multiplikationsoperator*  $f$ :

$$\left[\frac{\partial}{\partial x}, f\right] = \frac{\partial f}{\partial x} \quad (2.1)$$

wobei die Rechte Seite die Multiplikation mit  $\frac{\partial f}{\partial x}$  darstellt. Dies bedeutet, für alle  $g \in \mathbb{C}[x]$  hat man:

$$\left[\frac{\partial}{\partial x}, f\right] \cdot g = \frac{\partial fg}{\partial x} - f \frac{\partial g}{\partial x} = \frac{\partial f}{\partial x} \cdot g$$

**Definition 2.1** (Weyl Algebra,  $\mathcal{D}$ ). Definiere nun die Weyl Algebra  $A_1(\mathbb{C})$  (bzw. die Algebra  $\mathcal{D}$  von linearen Operatoren mit Koeffizienten in  $\mathbb{C}\{x\}$  bzw. die Algebra  $\hat{\mathcal{D}}$  (Koeffizienten in  $\mathbb{C}[[x]]$ )) als die Quotientenalgebra der freien Algebra, welche von dem Koeffizientenring zusammen mit dem Element  $\partial_x$ , erzeugt wird, Modulo der Relation (2.1).

Wir werden die Notation  $A_1(\mathbb{C}) := \mathbb{C}[x] < \partial_x >$  (bzw.  $\mathcal{D} := \mathbb{C}\{x\} < \partial_x >$  bzw.  $\hat{\mathcal{D}} := \mathbb{C}[[x]] < \partial_x >$ ) verwenden.

**Lemma 2.2.** *Sei  $A$  einer der 3 soeben eingeführten Objekten, so definieren die Addition*

$$+ : A \times A \rightarrow A$$

*und die Multiplikation*

$$\cdot : A \times A \rightarrow A$$

*eine Ringstruktur auf  $A$ .*

*Beweis.* [AV09, Kapittel 2 Section 1] □

*Bemerkung 2.3.*  $A_1(\mathbb{C})$ ,  $\mathcal{D}$  und  $\hat{\mathcal{D}}$  sind nicht kommutative Algebren.

**Definition 2.4** (Kommutator). Sei  $R$  ein Ring. Für  $a, b \in R$  wird

$$[a, b] = a \cdot b - b \cdot a$$

der *Kommutator von  $a$  und  $b$*  genannt.

**Proposition 2.5.** 1. Es gilt

$$[\partial_x, x] = \partial_x x - x \partial_x = 1$$

2. Sei  $f \in \mathbb{C}[x]$ , so gilt:

$$[\partial_x, f] = \frac{\partial f}{\partial x}.$$

Denn für  $g \in \mathbb{C}[x]$  ist

$$[\partial_x, f] \cdot g = \partial_x(fg) - f\partial_x g = (\partial_x f)g + \underbrace{f(\partial_x g) - f(\partial_x g)}_{=0} = (\partial_x f)g$$

3. Es gelten die Formeln

$$[\partial_x, x^k] = kx^{k-1}$$

$$[\partial_x^j, x] = j\partial_x^{j-1}$$

$$[\partial_x^j, x^k] = \sum_{i \geq 1} \frac{k(k-1) \cdots (k-i+1) \cdot j(j-1) \cdots (j-i+1)}{i!} x^{k-i} \partial_x^{j-i}$$

*Beweis.* [AV09] □

**Proposition 2.6.** Jedes Element in  $A_1(\mathbb{C})$  (bzw.  $\mathcal{D}$  oder  $\hat{\mathcal{D}}$ ) kann auf eindeutige weiße als  $P = \sum_{i=0}^n a_i(x) \partial_x^i$ , mit  $a_i(x) \in A_1(\mathbb{C})$  (bzw.  $\mathcal{D}$  oder  $\hat{\mathcal{D}}$ ), geschrieben werden.

*Beweis.* [Sab90, Proposition 1.2.3] □

**Definition 2.7.** Sei  $P = \sum_{i=0}^n a_i(x) \partial_x^i$  gegeben, so definiere

$$\deg P := \max\{i | a_i \neq 0\}$$

In natürlicher Weise erhält man  $F_N \mathcal{D} := \{P \in \mathcal{D} | \deg P \leq N\}$  sowie die entsprechende aufsteigende Filtrierung

$$\cdots \subset F_{-1} \mathcal{D} \subset F_0 \mathcal{D} \subset F_1 \mathcal{D} \subset \cdots \subset \mathcal{D}$$

und erhalte  $gr_k^F \mathcal{D} \stackrel{\text{def}}{=} F_N \mathcal{D} / F_{N-1} \mathcal{D} = \{P \in \mathcal{D} | \deg P = N\} \cong \mathbb{C}\{x\}$ .

*Beweis.* Sei  $P \in F_N \mathcal{D}$  so betrachte den Isomorphismus:

$$F_N \mathcal{D} / F_{N-1} \mathcal{D} \rightarrow \mathbb{C}\{x\}; [P] = P + F_{N-1} \mathcal{D} \mapsto a_n(x)$$

□

**Proposition 2.8.** *Es gilt:*

$$gr^F \mathcal{D} := \bigoplus_{N \in \mathbb{Z}} gr_N^F \mathcal{D} = \bigoplus_{N \in \mathbb{N}_0} gr_N^F \mathcal{D} \cong \bigoplus_{N \in \mathbb{N}_0} \mathbb{C}\{x\} \cong \mathbb{C}\{x\}[\xi] = \bigoplus_{N \in \mathbb{N}_0} \mathbb{C}\{x\} \cdot \xi^N$$

*isomorph als grad. Ringe*

also

$$gr^F \mathcal{D} \cong \bigoplus_{N \in \mathbb{N}_0} \mathbb{C}\{x\} \cdot \xi^N.$$

*Beweis.* TODO

□

## 2.2 (Links) $\mathcal{D}$ -Moduln

**Beispiel 2.9** (Einfachste links  $\mathcal{D}$ -Moduln). Sei  $X = \mathbb{A}^1$  und  $\mathcal{O}_X = \mathbb{C}[t]$ .

1.  $\mathcal{D}$  ist ein  $\mathcal{D}$ -Modul
2.  $\mathcal{M} = \mathcal{O}_X$  durch
  - $\partial(f(t)) = \frac{\partial f}{\partial t}$  und  $t \cdot f(t) = tf$
  - oder [Gin, Exmp 3.1.2]  $\mathcal{O}_X = \mathcal{D} \cdot 1 = \mathcal{D} / \mathcal{D} \cdot \partial$ .
3.  $\mathcal{M} = \mathcal{O}_X \exp(\lambda t)$  mit  $\partial(f(t) \exp(\lambda t)) = \frac{\partial f}{\partial t} \exp(\lambda t) + f \lambda \exp(\lambda t)$
4.  $\mathcal{M} = \mathbb{C}[t, t^{-1}]$  mit  $t \cdot t^m = t^{m+1}$  und  $\partial(t^m) = mt^{m-1}$



## 3 Der Meromorphe Zusammenhang

### 3.1 Meromorpher Zusammenhang (Definition)

**Definition 3.1** (Meromorpher Zusammenhang). Ein *Meromorpher Zusammenhang*  $(\mathcal{M}_K, \partial)$  besteht aus folgenden Daten:

- $\mathcal{M}_K$ , ein endlich dimensionaler  $K$ -Vektor Raum
- einer  $\mathbb{C}$ -linearen Abbildung  $\partial : \mathcal{M}_K \rightarrow \mathcal{M}_K$ , genannt *Derivation* oder *Zusammenhang*, welche für alle  $f \in K$  und  $u \in \mathcal{M}_K$  die *Leibnitzregel*

$$\partial(fu) = f' u + f \partial u \quad (3.1)$$

erfüllen soll.

*Bemerkung 3.2.* 1. Später wird man auf die Angabe von  $\partial$  verzichten und einfach  $\mathcal{M}_K$  als den Meromorphen Zusammenhang bezeichnen.

2. Wir betrachten hier Meromorphe Zusammenhänge an  $x = 0$  als Singularität.

**Definition 3.3.** [Sab07, 1.a] Sei  $\varphi \in \mathbb{C}((u))$ . Wir schreiben  $\mathcal{E}^\varphi$  für den (formalen) Rang 1 Vektorraum  $\mathbb{C}((u))$  ausgestattet mit dem Zusammenhang  $\nabla = \partial_u + \partial_u \varphi$ , im speziellen also  $\nabla_{\partial_u} 1 = \partial_u 1 = \varphi'$ .

*Bemerkung 3.4.* [Sab07, 1.a] Es gilt  $\mathcal{E}^\varphi \cong \mathcal{E}^\psi$  genau dann wenn  $\varphi \equiv \psi \pmod{\mathbb{C}[[u]]}$ .

### 3.2 Eigenschaften

**Lemma 3.5** (Lemma vom zyklischen Vektor). [Sab90, Thm 4.3.3] [AV09, Satz 4.8] Sei  $\mathcal{M}_K$  ein Meromorpher Zusammenhang. Es Existiert ein Element  $m \in \mathcal{M}_K$  und eine ganze Zahl  $d$  so dass  $m, \partial_t m, \dots, \partial_t^{d-1} m$  eine  $K$ -Basis von  $\mathcal{M}_K$  ist.

*Beweis.* [AV09, Satz 4.8] □

**Satz 3.6.** [Sab90, Thm 4.3.2] Ein Meromorpher Zusammenhang bestimmt ein  $\mathcal{D}$ -Modul und andersherum.

*Beweis.* [Sab90, Thm 4.3.2] □

**Lemma 3.7.** [AV09, Satz 4.12] [Sab90, Thm 4.3.2] Ist  $\mathcal{M}_K$  ein Meromorpher Zusammenhang, dann existiert ein  $P \in \mathcal{D}_K$  so dass  $\mathcal{M}_K \cong \mathcal{D}_K / \mathcal{D}_K \cdot P$ .

*Beweis.* [AV09, Satz 4.12] □

**Lemma 3.8.** Sei  $(\mathcal{M}_K, \partial)$  ein gegebener Meromorpher Zusammenhang, und  $\varphi$  ein Basisisomorphismus von  $K^r$  nach  $\mathcal{M}_K$ , also in der Situation

$$\begin{array}{ccc} \mathcal{M}_K & \xrightarrow{\partial} & \mathcal{M}_K \\ \uparrow \cong \varphi & & \uparrow \varphi \cong \\ K^r & \xrightarrow{\varphi^{-1} \partial \varphi} & K^r \end{array}$$

gilt:  $(K^r, \varphi^{-1} \partial \varphi)$  ist ebenfalls ein Meromorpher Zusammenhang.

*Beweis.* TODO, (3. Treffen) □

**Lemma 3.9.** Sei  $\mathcal{M}_K \cong K^r$  ein endlich dimensionaler  $K$ -Vektor Raum mit  $\partial_1$  und  $\partial_2$  zwei darauf definierte Derivationen. So gilt, die Differenz zweier Derivationen ist  $K$ -linear.

*Beweis.* Seien  $\partial_1$  und  $\partial_2$  zwei Derivationen auf  $\mathcal{M}_K$ . Da  $\partial_1$  und  $\partial_2$   $\mathbb{C}$ -linear, ist  $\partial_1 - \partial_2$   $\mathbb{C}$ -linear, also muss nur noch gezeigt werden, dass  $(\partial_1 - \partial_2)(fu) = f \cdot (\partial_1 - \partial_2)(u) \forall f \in K$  und  $u \in \mathcal{M}_K$  gilt.

$$\begin{aligned} (\partial_1 - \partial_2)(fu) &= \partial_1(fu) - \partial_2(fu) \\ &= f'u + f\partial_1 u - f'u - f\partial_2 u \\ &= \underbrace{f'u - f'u}_{=0} + f \cdot (\partial_1 u - \partial_2 u) \\ &= f \cdot (\partial_1 - \partial_2)(u) \end{aligned}$$

□

**Korollar 3.10.** Es sei  $(K^r, \partial)$  ein Meromorpher Zusammenhang. So ist  $\frac{d}{dz} - \partial : K^r \rightarrow K^r$   $K$ -linear, also es existiert eine Matrix  $A \in M(r \times r, K)$  mit  $\frac{d}{dz} - \partial = A$ , also ist  $\partial = \frac{d}{dz} - A$ .

**Definition 3.11** (Transformationsformel). In der Situation

$$\begin{array}{ccccc}
 K^r & \xrightarrow{\frac{d}{dz} + A} & & & K^r \\
 & \searrow \cong \varphi & & & \nwarrow \cong \psi \\
 & & M & \xrightarrow{\partial} & M \\
 & \nearrow \cong \psi & & & \nwarrow \cong \varphi \\
 K^r & \xrightarrow{\frac{d}{dz} + B} & & & K^r \\
 \cong T \uparrow & & & & \uparrow T \cong
 \end{array}$$

mit  $\varphi, \psi$  und  $T$   $K$ -Linear und  $\partial, (\frac{d}{dz} + A)$  und  $(\frac{d}{dz} + B)$   $\mathbb{C}$ -Linear, gilt:  
 Der Merom. Zush.  $\frac{d}{dz} + A$  auf  $K^r$  wird durch Basiswechsel  $T \in GL(r, K)$  zu

$$\frac{d}{dz} + (T^{-1} \cdot T' + T^{-1}AT) = \frac{d}{dz} + B$$

**Definition 3.12** (Differenziell Äquivalent). Man nennt  $A$  und  $B$  *differenziell Äquivalent* ( $A \sim B$ ) genau dann, wenn es ein  $T \in GL(r, K)$  gibt, mit  $B = T^{-1} \cdot T' + T^{-1}AT$ .

### 3.3 formale Meromorphe Zusammenhänge

**Definition 3.13.** Definiere

$$\hat{\mathcal{D}}[u^{-1}] = \hat{K} < \partial_u > =: \mathcal{D}_{\hat{K}}$$

wobei  $\hat{K} = \mathbb{C}[[u]][u^{-1}]$

### 3.4 Newton Polygon

Jedes  $P \in \mathcal{D}$  lässt sich eindeutig schreiben als

$$P = \sum_{k=0}^n \sum_{l=-N}^{\infty} \alpha_{kl} t^l \partial_t^k$$

mit  $\alpha_{kl} \in \mathbb{C}$  schreiben und betrachte das zu  $P$  dazugehörige

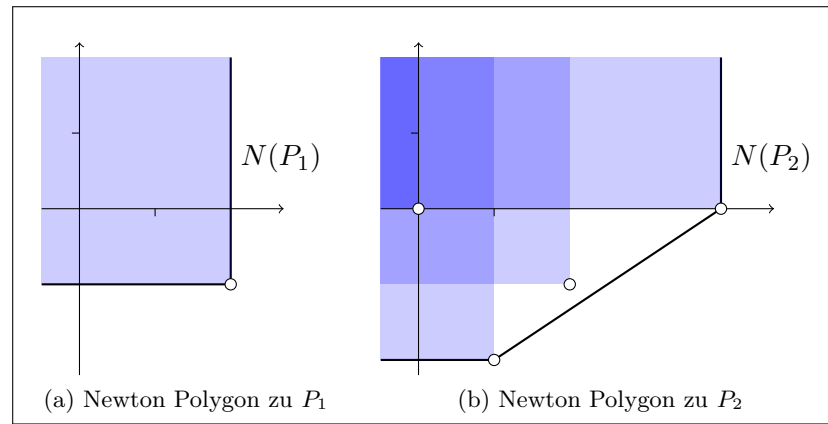
$$H(P) := \bigcup_{k,l \text{ mit } \alpha_{kl} \neq 0} \left( (k, l - k) + \mathbb{R}_{\leq 0} \times \mathbb{R}_{\geq 0} \right) \subset \mathbb{R}^2.$$

**Definition 3.14.** Das Randpolygon von  $\text{conv}(H(P))$  heißt das *Newton Polygon* von  $P$  und wird geschrieben als  $N(P)$ .

**Definition 3.15.** Die Menge  $\text{slopes}(P)$  sind die nicht-vertikalen Steigungen von  $N(P)$ , die sich echt rechts von  $\{0\} \times \mathbb{R}$  befinden.

- $P$  heißt *regulär singulär*  $:\Leftrightarrow \text{slopes}(P) = \{0\}$ , sonst *irregulär singulär*.
- Schreibe  $\mathcal{P}(\mathcal{M}_K)$  für die Menge der zu  $\mathcal{M}_K$  gehörigen slopes
- Ein meromorpher Zusammenhang  $\mathcal{M}_K$  heißt regulär singulär, falls es ein regulär singuläres  $P$  gibt, mit  $\mathcal{M}_K \cong \mathcal{D}/\mathcal{D} \cdot P$

Abbildung 3.1: Zu Beispiel 3.16



**Beispiel 3.16.** 1. Ein besonders einfaches Beispiel ist  $P_1 = t^1 \partial_t^2$ . Es ist leicht abzulesen, dass

$$k = 2 \qquad l = 1$$

so dass

$$H(P_1) = \left( (2, 1 - 2) + \mathbb{R}_{\leq 0} \times \mathbb{R}_{\geq 0} \right) = \{(u, v) \in \mathbb{R}^2 \mid u \leq 2, v \geq -1\}.$$

In Abbildung 3.2a ist  $H(P_1)$  (blau) sowie das Newton Polygon eingezeichnet. Offensichtlich ist  $\text{slopes}(P_1) = \{0\}$  und damit ist  $P_1$  regulär singulär.

2. [AV09, Bsp 5.3. 2.] Sei  $P_2 = t^4(t+1)\partial_t^4 + t\partial_t^2 + \frac{1}{t}\partial_t + 1$  so kann man daraus das entsprechende Newton Polygon konstruieren. Das Newton Polygon wurde in Abbildung 3.2b visualisiert.

**Lemma 3.17.** [Sab90, 5.1]

1.  $\mathcal{P}(\mathcal{M}_K)$  ist nicht Leer, wenn  $\mathcal{M}_K \neq \{0\}$
2. Wenn man eine exacte Sequenz  $0 \rightarrow \mathcal{M}'_K \rightarrow \mathcal{M}_K \rightarrow \mathcal{M}''_K \rightarrow 0$  hat, so gilt  $\mathcal{P}(\mathcal{M}_K) = \mathcal{P}(\mathcal{M}'_K) \cup \mathcal{P}(\mathcal{M}''_K)$ .

### 3.5 pull-back und push-forward

Nach [Sab07, 1.a]. Sei  $\rho \in u\mathbb{C}[[u]]$  mit Bewertung  $p \geq 1$  und sei  $\mathcal{M}$  ein endlich dimensionaler  $\mathbb{C}((t))$  Vektorraum ausgestattet mit einem Zusammenhang  $\nabla$ .

**Definition 3.18** (pull-back). [Sab07, 1.a] Der *pull-back (Inverses Bild)*  $\rho^+\mathcal{M}$  ist der Vektorraum  $\rho^*\mathcal{M} = \mathbb{C}((u)) \otimes_{\mathbb{C}((t))} \mathcal{M}$  mit dem *pull-back Zusammenhang*  $\rho^*\nabla$  definiert durch  $\partial_u(1 \otimes m) := \rho'(u) \otimes \partial_t m$ .

**Lemma 3.19.** Ist  $\mathcal{M} = \mathcal{D}_{\mathbb{C}((t))} / \mathcal{D}_{\mathbb{C}((t))} \cdot P(t, \partial_t)$  für ein  $P(t, \partial_t) \in \mathcal{D}_{\mathbb{C}((t))}$  so ist

$$\rho^*\mathcal{M} \cong \mathcal{D}_{\mathbb{C}((u))} / \mathcal{D}_{\mathbb{C}((u))} \cdot P(\rho(u), \rho'(u)^{-1} \partial_u).$$

*Beweis.* Wie erhält man den pull-back Zusammenhang bzw. wie ist er berechenbar? Sei  $P \in \mathcal{D}_{\mathbb{C}((t))}$  und  $\mathcal{M} := \mathcal{D}_{\mathbb{C}((t))} / \mathcal{D}_{\mathbb{C}((t))} \cdot P$ . Es ist

$$0 \longrightarrow \mathcal{D}_{\mathbb{C}((t))} \xrightarrow{- \cdot P} \mathcal{D}_{\mathbb{C}((t))} \longrightarrow \mathcal{D}_{\mathbb{C}((t))} / \mathcal{D}_{\mathbb{C}((t))} \cdot P \longrightarrow 0$$

exact und flach, da über Körper. Deshalb ist auch

$$0 \longrightarrow \mathbb{C}((u)) \otimes_{\mathbb{C}((t))} \mathcal{D}_{\mathbb{C}((t))} \xrightarrow{\text{id} \otimes - \cdot P} \mathbb{C}((u)) \otimes_{\mathbb{C}((t))} \mathcal{D}_{\mathbb{C}((t))} \longrightarrow \rho^*\mathcal{M} \longrightarrow 0$$

exact. Es gilt  $\mathbb{C}((u)) \otimes_{\mathbb{C}((t))} \mathcal{D}_{\mathbb{C}((t))} \cong \mathcal{D}_{\mathbb{C}((u))}$  mittels

$$\begin{aligned} \Phi : \mathbb{C}((u)) \otimes_{\mathbb{C}((t))} \mathcal{D}_{\mathbb{C}((t))} &\xrightarrow{\cong} \mathcal{D}_{\mathbb{C}((u))} \\ 1 \otimes m(t, \partial_t) &\longmapsto m(\rho(u), \rho'(u)^{-1} \partial_u) \\ f \otimes m(t, \partial_t) &\longmapsto f(u) m(\rho(u), \rho'(u)^{-1} \partial_u) \end{aligned}$$

Also

$$\begin{array}{ccc} \mathbb{C}((u)) \otimes_{\mathbb{C}((t))} \mathcal{D}_{\mathbb{C}((t))} & \xrightarrow{\text{id} \otimes - \cdot P(t, \partial_t)} & \mathbb{C}((u)) \otimes_{\mathbb{C}((t))} \mathcal{D}_{\mathbb{C}((t))} \\ \cong \downarrow \Phi & & \cong \downarrow \Phi \\ \mathcal{D}_{\mathbb{C}((u))} & \xrightarrow{- \cdot P(\rho(u), \rho'(u)^{-1} \partial_u)} & \mathcal{D}_{\mathbb{C}((u))} \end{array}$$

und mit  $Q := \rho^+P(t, \partial_t) := P(\rho(u), \rho'(u)^{-1} \partial_u)$  ergibt sich übersichtlich die Situation

$$\begin{array}{ccccccc}
 0 & \longrightarrow & \mathbb{C}((u)) \otimes_{\mathbb{C}((t))} \mathcal{D}_{\mathbb{C}((t))} & \xrightarrow{\text{id} \otimes \cdot P} & \mathbb{C}((u)) \otimes_{\mathbb{C}((t))} \mathcal{D}_{\mathbb{C}((t))} & \longrightarrow & \rho^* \mathcal{M} \longrightarrow 0 \\
 & & \cong \downarrow \Phi & & \cong \downarrow \Phi & & \cong \downarrow \\
 0 & \longrightarrow & \mathcal{D}_{\mathbb{C}((u))} & \xrightarrow{- \cdot Q} & \mathcal{D}_{\mathbb{C}((u))} & \longrightarrow & \mathcal{D}_{\mathbb{C}((u))} / \mathcal{D}_{\mathbb{C}((u))} \cdot Q \longrightarrow 0
 \end{array}$$

wobei die untere und die obere Zeile jeweils Exakte Sequenzen sind. Und damit gilt dann

$$\begin{aligned}
 \rho^* \mathcal{M} &\cong \mathcal{D}_{\mathbb{C}((u))} / \mathcal{D}_{\mathbb{C}((u))} \cdot Q \\
 &\cong \mathcal{D}_{\mathbb{C}((u))} / \mathcal{D}_{\mathbb{C}((u))} \cdot P(\rho(u), \rho'(u)^{-1} \partial_u).
 \end{aligned}$$

□

**Beispiel 3.20** (pull-back). Hier nun ein explizit berechneter pull-back.

Wir wollen  $\mathcal{D}/\mathcal{D} \cdot P$  bzgl.  $P = t^3 \partial_t^2 - 4t^2 \partial_t - 1$  betrachten. Unser Ziel ist es hier ganzzahlige slopes erhalte. Es gilt  $\text{slopes}(P) = \{\frac{1}{2}\}$  (siehe Abbildung 3.3a) und es ist 2 der Hauptnenner aller Slopes. Wende den pull-back  $\rho : t \rightarrow u^2$ , welcher alle slopes mit 2 Multipliziert, an. Zunächst ein paar Nebenrechnungen:

$$\begin{aligned}
 \partial_t &= \frac{1}{\rho'} \partial_u = \frac{1}{2u} \partial_u \\
 \partial_t^2 &= \left( \frac{1}{2u} \partial_u \right)^2 \\
 &= \frac{1}{2u} \left( -\frac{1}{2u^2} \partial_u + \frac{1}{2u} \partial_u^2 \right) \\
 &= \frac{1}{4u^2} \partial_u^2 - \frac{1}{4u^3} \partial_u
 \end{aligned}$$

also ergibt einsetzen

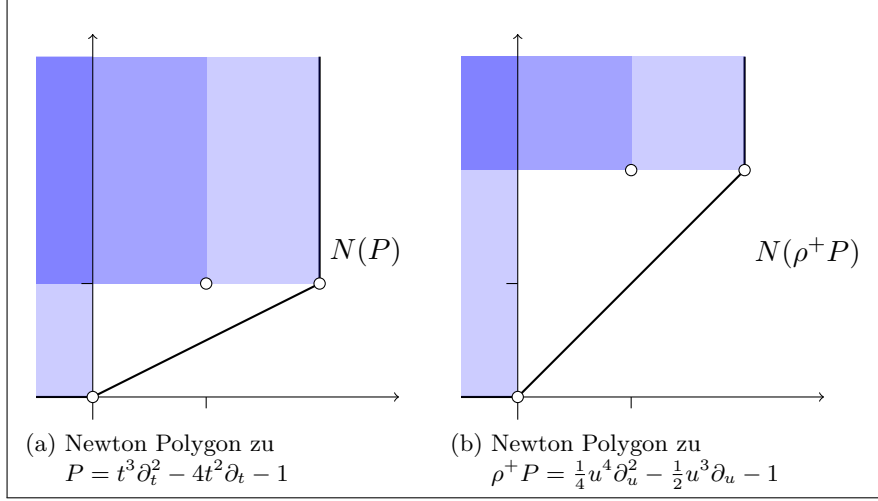
$$\begin{aligned}
 \rho^+ P &= u^6 \left( \frac{1}{4u^2} \partial_u^2 - \frac{1}{4u^3} \partial_u \right) - 4u^4 \frac{1}{2u} \partial_u - 1 \\
 &= \frac{1}{4} u^4 \partial_u^2 - u^3 \frac{1}{4u^3} \partial_u - 4u^3 \frac{1}{2} \partial_u - 1 \\
 &= \frac{1}{4} u^4 \partial_u^2 - 2 \frac{1}{4} u^3 \partial_u - 1
 \end{aligned}$$

Also ist  $\rho^+ P = \frac{1}{4} u^4 \partial_u^2 - \frac{1}{2} u^3 \partial_u - 1$  mit  $\text{slopes}(\rho^+ P) = \{1\}$  (siehe Abbildung 3.3b).

Sei  $\mathcal{N}$  ein  $\mathbb{C}((u))$ -VR mit Verknüpfung, so definiere den push-forward wie folgt.

**Definition 3.21** (push-forward). [Sab07, 1.a] Der *push-forward* (*Direktes Bild*)  $\rho_+ \mathcal{N}$  ist

Abbildung 3.2: Zu Beispiel 3.20



- der  $\mathbb{C}((t))$ -VR  $\rho_* \mathcal{N}$  ist der  $\mathbb{C}$ -Vektor Raum  $\mathcal{N}$  mit der  $\mathbb{C}((t))$ -Vektor Raum Struktur durch  $f(t) \cdot m := f(\rho(t))m$
- mit der Wirkung  $\partial_t$  beschrieben durch  $\rho'(u)^{-1} \partial_u$ .

**Satz 3.22.** [Sab07, 1.a] Es gilt die Projektionsformel

$$\rho_+(\mathcal{N} \otimes_{\mathbb{C}((u))} \rho^+ \mathcal{M}) \cong \rho_+ \mathcal{N} \otimes_{\mathbb{C}((t))} \mathcal{M}. \quad (3.2)$$

*Beweis.*

$$\begin{aligned} \rho_+(\mathcal{N} \otimes_{\mathbb{C}((u))} \rho^+ \mathcal{M}) &= \rho_+(\mathcal{N} \otimes_{\mathbb{C}((u))} (\mathbb{C}((u)) \otimes_{\mathbb{C}((t))} \mathcal{M})) \\ &\cong \rho_+(\mathcal{N} \otimes_{\mathbb{C}((u))} \mathbb{C}((u))) \otimes_{\mathbb{C}((t))} \mathcal{M} \\ &\cong \rho_+(\mathcal{N} \otimes_{\mathbb{C}((t))} \mathcal{M}) \\ &= \rho_+ \mathcal{N} \otimes_{\mathbb{C}((t))} \mathcal{M} \end{aligned}$$

□

## 3.6 Elementare Meromorphe Zusammenhänge

**Definition 3.23** (Elementarer formaler Zusammenhang). [Sab07, Def 2.1] Zu einem gegebenen  $\rho \in u\mathbb{C}[[u]]$ ,  $\varphi \in \mathbb{C}((u))$  und einem endlich dimensionalen  $\mathbb{C}((u))$ -Vektorraum  $R$  mit regulärem

Zusammenhang  $\nabla$ , definieren wir den assoziierten Elementaren endlich dimensionalen  $\mathbb{C}((t))$ -Vektorraum mit Zusammenhang, durch:

$$El(\rho, \varphi, R) = \rho_+(\mathcal{E}^\varphi \otimes R)$$



## 4 Levelt-Turrittin-Theorem

Ab hier werden wir nur noch formale Meromorphe Zusammenhänge betrachten. Alle bisher getroffenen Aussagen gelten für diese aber analog.

### 4.1 Klassische Definition

**Satz 4.1.** [[Sab90](#), Thm 5.3.1] Sei  $\mathcal{M}_{\hat{K}}$  ein formaler Meromorpher Zusammenhang und sei  $\mathcal{P}(\mathcal{M}_{\hat{K}}) = \{L^{(1)}, \dots, L^{(r)}\}$  die Menge seiner slopes. Es existiert eine (bis auf Permutation) eindeutige Aufteilung  $\mathcal{M}_{\hat{K}} = \bigoplus_{i=1}^r \mathcal{M}_{\hat{K}}^{(i)}$  in formale Meromorphe Zusammenhänge mit  $\mathcal{P}(\mathcal{M}_{\hat{K}}^{(i)}) = \{L^{(i)}\}$ .

*Beweis.* [[Sab90](#), Thm 5.3.1] □

**Satz 4.2.** [[Sab90](#), Thm 5.4.7] Sei  $\mathcal{M}_{\hat{K}}$  ein formaler Meromorpher Zusammenhang. So gibt es eine ganze Zahl  $q$  so dass der Zusammenhang  $\pi^* \mathcal{M}_{\hat{K}} = \mathcal{M}_{\hat{L}}$  isomorph zu einer direkten Summe von elementaren Meromorphen Zusammenhängen ist.

**Beispiel 4.3.** Sei hier  $P = \frac{1}{4}u^4\partial_u^2 - \frac{1}{2}u^3\partial_u - 1$ , wie in Beispiel ?? . Wir wollen  $\mathcal{D}/\mathcal{D} \cdot P$  mittels des Levelt-Turrittin-Theorems Zerlegen.

### 4.2 Sabbah's Refined version

Sei  $\rho : u \mapsto u^p$  und  $\mu_\xi : u \mapsto \xi u$ .

**Lemma 4.4.** [[Sab07](#), Lem 2.4] Für alle  $\varphi \in \mathbb{C}((u))$  gilt

$$\rho^+ \rho_+ \mathcal{E}^\varphi = \bigoplus_{\xi^p=1} \mathcal{E}^{\varphi \circ \mu_\xi}.$$

*Beweis.* Wir wählen eine  $\mathbb{C}((u))$  Basis  $\{e\}$  von  $\mathcal{E}^\varphi$  und zur vereinfachung nehmen wir an, dass  $\varphi \in u^{-1}\mathbb{C}[u^{-1}]$  <sup>[1]</sup>.

Dann ist die Familie  $e, ue, \dots, u^{p-1}e$  eine  $\mathbb{C}((t))$ -Basis von  $\rho_+ \mathcal{E}^\varphi$ .

Setze  $e_k = u^{-k} \otimes_{\mathbb{C}((t))} u^k e$ . Dann ist die Familie  $\mathbf{e} = (e_0, \dots, e_{p-1})$  eine  $\mathbb{C}((u))$ -Basis von  $\rho^+ \rho_+ \mathcal{E}^\varphi$ .

---

<sup>[1]</sup>  $\mathcal{E}^\varphi = \mathcal{E}^\psi \Leftrightarrow \varphi \equiv \psi \pmod{\mathbb{C}[[u]]}$

Zerlege nun  $u\varphi'(u) = \sum_{j=0}^{p-1} u^j \psi_j(u^p) \in u^{-2}\mathbb{C}[u^{-1}]$  mit  $\psi_j \in \mathbb{C}[t^{-1}]$  für alle  $j > 0$  und  $\psi_0 \in t^{-1}\mathbb{C}[u^{-1}]$  (siehe: Anhang A).

Sei  $P$  die Permutationsmatrix, definiert durch  $\mathbf{e} \cdot P = (e_1, \dots, e_{p-1}, e_0)$  <sup>[2]</sup>.

Es gilt:

$$u\partial_u e_k = \sum_{i=0}^{p-1-k} u^i \psi_i(u^p) e_{k+1} + \sum_{i=p-k}^{p-1} u^i \psi_i(u^p) e_{k+i-p}$$

denn:

$$\begin{aligned} u\partial_u e_k &= u\partial_u (u^{-k} \otimes_{\mathbb{C}((t))} u^k e) \\ &= u(-ku^{-k-1} \otimes_{\mathbb{C}((t))} u^k e + pu^{p-1}u^{-k} \otimes_{\mathbb{C}((t))} \partial_t(\underbrace{u^k e}_{\in \rho_+ \mathcal{E}^\varphi})) \\ &= -ku^{-k} \otimes_{\mathbb{C}((t))} u^k e + pu^{p-1}u^{-k+1} \otimes_{\mathbb{C}((t))} (pu^{p-1})^{-1}(ku^{k-1}e + u^k \varphi'(u)e) \\ &= -ku^{-k} \otimes_{\mathbb{C}((t))} u^k e + u^{-k+1} \otimes_{\mathbb{C}((t))} (ku^{k-1}e + u^k \varphi'(u)e) \\ &= \underbrace{-ku^{-k} \otimes_{\mathbb{C}((t))} u^k e + u^{-k+1} \otimes_{\mathbb{C}((t))} ku^{k-1}e}_{=0} + u^{-k+1} \otimes_{\mathbb{C}((t))} u^k \varphi'(u)e \\ &= u^{-k} \otimes_{\mathbb{C}((t))} u^{k+1} \varphi'(u)e \\ &= \sum_{i=0}^{p-1} u^{-k} \otimes_{\mathbb{C}((t))} u^k \underbrace{u^i \psi_i(u^p)}_{\in \mathbb{C}((t))} e \\ &= \sum_{i=0}^{p-1} u^i \psi_i(u^p) (u^{-k} \otimes_{\mathbb{C}((t))} u^k e) \\ &= \sum_{i=0}^{p-1-k} u^i \psi_i(u^p) e_{k+1} + \sum_{i=p-k}^{p-1} u^i \psi_i(u^p) e_{k+i-p} \end{aligned}$$

so dass gilt:

$$u\partial_u \mathbf{e} = \mathbf{e} \left[ \sum_{j=0}^{p-1} u^j \psi_j P^j \right]$$

denn:

$$\begin{aligned} u\partial_u \mathbf{e} &= (u\partial_u e_0, \dots, u\partial_u e_{p-1}) \\ \hline {}^{[2]}P &= \begin{pmatrix} 0 & & 1 \\ 1 & 0 & \\ & \ddots & \ddots \\ & & 1 & 0 \end{pmatrix} \end{aligned}$$

$$\begin{aligned}
 &= \left( \sum_{i=0}^{p-1-k} u^i \psi_i(u^p) e_{k+1} + \sum_{i=p-k}^{p-1} u^i \psi_i(u^p) e_{k+i-p} \right)_{k \in \{0, \dots, p-1\}} \\
 &= \mathbf{e} \begin{pmatrix} u^{p-1} \psi_{p-1}(u^p) & \dots & u^3 \psi_3(u^p) & u^2 \psi_2(u^p) & u^1 \psi_1(u^p) \\ u^1 \psi_1(u^p) & u^{p-1} \psi_{p-1}(u^p) & & \ddots & u^2 \psi_2(u^p) \\ u^2 \psi_2(u^p) & u^1 \psi_1(u^p) & \ddots & & u^3 \psi_3(u^p) \\ u^3 \psi_3(u^p) & \ddots & \ddots & \ddots & \vdots \\ \vdots & & \ddots & u^1 \psi_1(u^p) & u^{p-1} \psi_{p-1}(u^p) \\ u^{p-2} \psi_{p-2}(u^p) & \dots & u^3 \psi_3(u^p) & u^2 \psi_2(u^p) & u^1 \psi_1(u^p) & u^{p-1} \psi_{p-1}(u^p) \end{pmatrix} \\
 &= \mathbf{e} \left[ \sum_{j=0}^{p-1} u^j \psi_j(u^p) P^j \right]
 \end{aligned}$$

Die Wirkung von  $\partial_u$  auf die Basis von  $\rho^+ \rho_+ \mathcal{E}^\varphi(u)$  ist also Beschrieben durch:

$$\partial_u \mathbf{e} = \mathbf{e} \left[ \sum_{j=0}^{p-1} u^{j-1} \psi_j P^j \right]$$

Diagonalisiere nun  $TPT^{-1} = D = \begin{pmatrix} \xi^0 & & & \\ & \xi^1 & & \\ & & \ddots & \\ & & & \xi^{p-1} \end{pmatrix}$  [3], mit  $\xi^p = 1$  und  $T \in Gl_p(\mathbb{C})$ .

So dass gilt:

$$\begin{aligned}
 T \left[ \sum_{j=0}^{p-1} u^{j-1} \psi_j(u^p) P^j \right] T^{-1} &= \left[ \sum_{j=0}^{p-1} u^{j-1} \psi_j(u^p) (TPT^{-1})^j \right] \\
 &= \left[ \sum_{j=0}^{p-1} u^{j-1} \psi_j(u^p) D^j \right] \\
 &= \begin{pmatrix} \sum_{j=0}^{p-1} u^{j-1} \psi_j & \sum_{j=0}^{p-1} u^{j-1} \psi_j (\xi^1)^j & \dots & \sum_{j=0}^{p-1} u^{j-1} \psi_j (\xi^{p-1})^j \\ & \ddots & \ddots & \vdots \end{pmatrix} \\
 &= \begin{pmatrix} \sum_{j=0}^{p-1} u^{j-1} \psi_j & \sum_{j=0}^{p-1} (u \xi^1)^{j-1} \psi_j \xi^1 & \dots & \sum_{j=0}^{p-1} (u \xi^{p-1})^{j-1} \psi_j \xi^{p-1} \\ & \ddots & \ddots & \vdots \end{pmatrix} \quad [4]
 \end{aligned}$$

[3] Klar, da mipo  $X^p - 1$

$$= \begin{pmatrix} \varphi'(u) & & & \\ & \varphi'(\xi u)\xi^1 & & \\ & & \ddots & \\ & & & \varphi'(\xi^{p-1}u)\xi^{p-1} \end{pmatrix}$$

Wie sieht denn die Wirkung auf die Basis von  $\bigoplus_{\xi^{p=1}} \mathcal{E}^{\varphi \circ \mu_\xi} \xrightarrow{\Phi} \mathbb{C}((u))^p$  aus?

$$\begin{aligned} \partial_u \begin{pmatrix} 1 \\ 0 \\ \vdots \\ 0 \end{pmatrix} &= \begin{pmatrix} \partial_u 1 \\ \partial_u 0 \\ \vdots \\ \partial_u 0 \end{pmatrix} = \begin{pmatrix} \varphi'(u) \\ 0 \\ \vdots \\ 0 \end{pmatrix} \\ \partial_u \begin{pmatrix} 0 \\ 1 \\ 0 \\ \vdots \\ 0 \end{pmatrix} &= \begin{pmatrix} \partial_u 0 \\ \partial_u 1 \\ \partial_u 0 \\ \vdots \\ \partial_u 0 \end{pmatrix} = \begin{pmatrix} 0 \\ \varphi'(u) \\ 0 \\ \vdots \\ 0 \end{pmatrix} \xrightarrow{\Phi} \begin{pmatrix} 0 \\ \varphi'(u)\xi \\ 0 \\ \vdots \\ 0 \end{pmatrix} \end{aligned}$$

Also kommutiert das Diagram:

$$\begin{array}{ccccccc} \rho^+ \rho_+ \mathcal{E}^{\varphi(u)} & \xleftarrow{\cong} & \mathbb{C}((u))^p & \xleftarrow[\cong]{T} & \mathbb{C}((u))^p & \xrightarrow[\cong]{\Phi} & \bigoplus_{\xi^{p=1}} \mathcal{E}^{\varphi \circ \mu_\xi} \\ \downarrow \partial_u & & \downarrow \sum_{j=0}^{p-1} u^{j-1} \psi_j P^j & & \downarrow \sum_{j=0}^{p-1} u^{j-1} \psi_j D^j & & \downarrow \partial_u \\ \rho^+ \rho_+ \mathcal{E}^{\varphi(u)} & \xleftarrow{\cong} & \mathbb{C}((u))^p & \xleftarrow[\cong]{T} & \mathbb{C}((u))^p & \xrightarrow[\cong]{} & \bigoplus_{\xi^{p=1}} \mathcal{E}^{\varphi \circ \mu_\xi} \end{array}$$

Und deshalb ist klar ersichtlich das auf  $\rho^+ \rho_+ \mathcal{E}^{\varphi(u)}$  und  $\sum_{j=0}^{p-1} u^{j-1} \psi_j D^j$  ein Äquivalenter Meromorpher Zusammenhang definiert ist.

□

**Proposition 4.5.** [Sab07, Prop 3.1] Jeder irreduzible endlich dimensionale formale Meromorphe Zusammenhang  $\mathcal{M}_{\hat{K}}$  ist isomorph zu  $\rho_+(\mathcal{E}^\varphi \otimes L)$ , wobei  $\varphi \in u^{-1}\mathbb{C}[u^{-1}]$ ,  $\rho : u \mapsto t = u^p$  mit  $\text{grad } p \geq 1$  minimal bzgl.  $\varphi$  (siehe [Sab07, Rem 2.8]), und  $L$  ist ein Rang 1  $\mathbb{C}((u))$ -Vektorraum mit regulärem Zusammenhang.

*Beweis.* [Sab07, Prop 3.1]

□

**Satz 4.6** (Refined Turrittin-Levelt). [[Sab07](#), Cor 3.3] Jeder endlich dimensionale Meromorphe Zusammenhang  $\mathcal{M}_{\hat{K}}$  kann in eindeutiger Weise geschrieben werden als direkte Summe  $\bigoplus_{\text{def}} \text{El}(\rho, \varphi, R) = \rho_+(\mathcal{E}^\varphi) \otimes R$ , so dass jedes  $\rho_+\mathcal{E}^\varphi$  irreduzibel ist und keine zwei  $\rho_+\mathcal{E}^\varphi$  isomorph sind.

*Beweis.* [[Sab07](#), Cor 3.3]

□

## A Aufteilung von ...

Sei  $\varphi \in u^{-1}\mathbb{C}[u^{-1}]$ , so ist  $\varphi' =: \sum_{i=2}^N a_{-i}u^{-i} \in u^{-2}\mathbb{C}[u^{-1}]$  also  $u\varphi'(u) = \sum_{i=1}^N a_{-(i-1)}u^{-i} \in u^{-1}\mathbb{C}[u^{-1}]$ , welches wir zerlegen wollen. Zerlege also  $u\varphi'(u) = \sum_{j=0}^{p-1} u^j \psi_j(u^p)$  mit  $\psi_j \in \mathbb{C}[t^{-1}]$  für alle  $j > 0$  und  $\psi_0 \in t^{-1}\mathbb{C}[t^{-1}]$ :

$$\begin{array}{c}
 u\varphi'(u) = a_{-2}u^{-1} + \dots + a_{-p}u^{-(p-1)} + a_{-(p+1)}u^{-p} + a_{-(p+2)}u^{-(p+1)} + \dots + a_{-(2p+1)}u^{-2p} + a_{-(2p+3)}u^{-(2p+1)} + \dots \\
 \begin{array}{c}
 \xrightarrow{\quad \psi_0(u^p) \quad} \\
 \xrightarrow{\quad u^{p-1}\psi_{p-1}(u^p) \quad} \quad \quad \quad \xrightarrow{\quad u\psi_1(u^p) \quad}
 \end{array}
 \end{array}$$

also:

$$\begin{aligned}
 \psi_0(u^p) &= a_{-(p+1)}u^{-p} + a_{-(2p+1)}u^{-2p} + \dots \\
 \psi_1(u^p) &= a_{-p}u^{-p} + a_{-2p}u^{2p} + \dots \\
 &\vdots \\
 \psi_{p-1}(u^p) &= a_{-2}u^p + a_{-(p+2)}u^{2p} + \dots
 \end{aligned}$$

## B Wie ich Newton Polygone zeichne

Ich benutze tikz

```
\usepackage{tikz}
\usetikzlibrary{matrix,arrows,decorations.pathmorphing}
```

und ein eigenes Kommando

```
\newcommand{\myNewtonPlot}[6]{
  \draw[color=black,thick] #2;
  \foreach \pos in #1 { \fill[blue,opacity=.2] (-.5,#5)
    rectangle \pos; }
  \draw[->] (-.5,0) -- (#3+.7,0);
  \draw[->] (0,#4-.2) -- (0,#5+.2);
  \draw (1,0) -- (1,-.1);
  \draw (0,1) -- (-.1,1);
  \foreach \pos in #1 { \node[draw,circle,inner sep=1.5pt,
    fill=white] at \pos {}; }
  \node [below right] at (#3,#5/2) {#6};
}
```

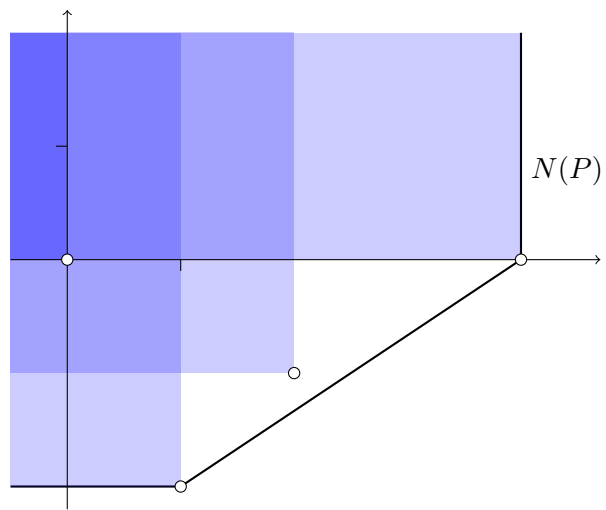
welche 6 Parameter verlangt:

1. ein array der Punkte
2. einen Pfad, der das Newton Polygon beschreibt
3. den maximalen x Wert
4. den minimalen y Wert
5. den maximalen y Wert

Ein Aufruf

```
\begin{tikzpicture}[scale=1.5]
\def\myPoints{{(0,0)}, {(1,-2)}, {(2,-1)}, {(4,0)}}
\def\myPath{(-.5,-2) -- (1,-2) -- (4,0) -- (4,2)}
\myNewtonPlot{\myPoints}{\myPath}{4}{-2}{2}{\mathcal{N}(P)}
\end{tikzpicture}
```

ergibt dann





# Literaturverzeichnis

- [AV09] B. Alkofer and F. Vogl, *Lineare differentialgleichungen und deren fouriertransformierte aus algebraischer sicht / lineare differentialgleichungen aus algebraischer sicht*, 2009.
- [Cou95] S.C. Coutinho, *A primer of algebraic d-modules*, London Mathematical Society Student Texts, Cambridge University Press, 1995.
- [Gin] V Ginzburg, *Lectures on d-modules*, Vorlesungsskript.
- [Har77] R. Hartshorne, *Algebraic geometry*, Graduate Texts in Mathematics, Springer, 1977.
- [HTT07] R. Hotta, K. Takeuchi, and T. Tanisaki, *D-modules, perverse sheaves, and representation theory*, Progress in Mathematics, Birkhäuser Boston, 2007.
- [MR89] H. Matsumura and M. Reid, *Commutative ring theory*, Cambridge Studies in Advanced Mathematics, Cambridge University Press, 1989.
- [Sab90] C. Sabbah, *Introduction to algebraic theory of linear systems of differential equations*, Vorlesungsskript, 1990.
- [Sab07] ———, *An explicit stationary phase formula for the local formal Fourier-Laplace transform*, June 2007.
- [Sta12] The Stacks Project Authors, *Stacks Project*, <http://stacks.math.columbia.edu>, December 2012.